

# F 6

## スペースライダーシミュレーション Space Lidar Simulation

内野修 M. P. McCormick\*

O. Uchino

気象研究所  
Meteorological Research Institute,

\* NASA Langley Research Center  
Hampton, VA 23665

1. 地上設置のライダーに比べ、飛行機搭載ライダーの場合測定範囲が広かる。NASA ランゼイラー研究所ではエルチラヨニ火山爆発後、飛行機搭載ルセーライダーで  $90^{\circ}\text{N} \sim 50^{\circ}\text{S}$  の範囲でエアロソルの測定を行つてゐる。<sup>1)</sup> また YAG レーザ励起色素レーザーを用いて DIAL 法で  $\text{O}_3$  や  $\text{H}_2\text{O}$  の飛行機観測を行つてゐる。<sup>2)</sup> このような技術をふまえさらにスペースシャトル、スペースステーション、衛星等をベースとしたライダーを用ひれば、パラソリューム法では得られない距離分解能をもつ精度のよい測定がグローバルにまた短時間に可能となる。<sup>3)</sup>

現在 NASA では LITE (Lidar In-space Technology Experiment) が進められてゐる。この計画ではミッドタラス搭載のライダーで成層圏、対流圏のエアロソル、雲の測定を主な目的としているが、さらに温度測定も試みる予定である。ここで温度測定について考察する。

### 2. 温度測定法

エアロソルが無視できる高度 30 km 以上ではライダーによる大気密度の測定データと気体の状態方程式及び静力学の方程式を用いて温度の垂直分布を求めることができる。<sup>4)</sup>

しかし高度 30 km 以下ではエアロソルによるミー散乱が無視できなくなりこの方法は使えないが、例えはアレスオントライトレーの基本波 (770 nm) と高ニ高調波 (355 nm) の二波長を用いて、355 nm では成層圏エアロソルが行なう時にミー散乱よりもレーリー散乱が卓越するので、まず  $\lambda = 770 \text{ nm}$  の長波長で通常の大気モデルを用いてエアロソルの分布を測定し、この測定データとエアロソルの光学モデルを仮定して、355 nm のデータからミー散乱の部分を差し引くことによって、下部成層圏の温度

測定も可能である。<sup>5)</sup>

### 3. シミュレーション

ここで最も一般的に次のような問題に対してライダーで求めた温度とモデルとして採用した温度  $T_s$  の差  $\Delta T = T - T_s$  について考える。

- 一波長のライダーで温度を測定するとき、トラニシエントた薄いエアロソル層があるとき。
- 二波長ライダーで、エアロソルの光学モデルが悪くなるために、完全にはエアロソルの散乱を除けはがったとき。
- 測定路のライナミックレンジが十分とれないために、別々に測定時に信号を接続するときに考えられる接続誤差。
- 多重散乱による効果。

Fig. 1 は 4 つのケースに対してモデル大気から期待されるレーリー後方散乱に対して粗略化したライダー信号を示す。

Fig. 2 は 4 つの場合について計算された  $\Delta T$  の垂直分布を示す。高度 50 km 付近の  $\Delta T$  の 0 からのずれは、90 km の高さで仮定された温度の境界条件  $T_s + 40 \text{ K}$  によるものである。結果は次のようにならざる。

- $\lambda = 34 \text{ km}$  の  $R = 1.04$  に対して、 $\Delta T = -8.3 \text{ K}$ 。  
しかし  $\lambda = 3 \text{ km}$  では  $\Delta T = 1.2 \text{ K}$  は  $770, 20 \text{ km}$  で 0 ゼロに近づく。したがって 410 nm レーリー散乱を越えるような薄い層は簡単に見かけられる。
- $R \leq 1.02$  に対して、 $\Delta T \leq -1.2 \text{ K}$ 。ハッカグランの成層圏エアロソルに対して、355 nm

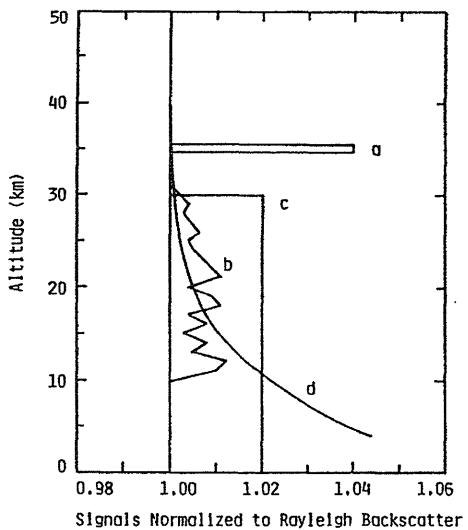


Fig. 1. Excess lidar signals normalized to Rayleigh backscatter signals for four cases : a. transient thin aerosol layer, b. residual aerosols, c. splicing error, and d. multiple scattering.

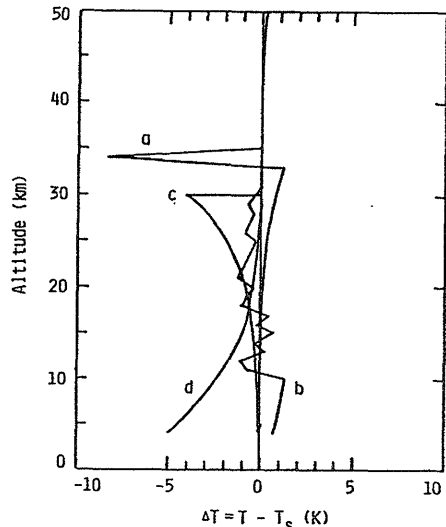


Fig. 2. Temperature difference between temperature  $T$  retrieved by lidar and model temperature  $T_s$  for four cases in Fig. 1.

$T$  は  $R_{max} \sim 1.04$

$\Delta T$  は  $200 \text{ km}$  の予定である。<sup>7)</sup>

c)  $30 \text{ km}$  以下  $\Delta T \sim 2 \text{ K}$  の接続誤差に対し、 $30 \text{ km}$  以上  $\Delta T = -4.2 \text{ K}$  はなるが、高度に向うにつれ  $\Delta T$  は指数函数的に小さくなる。

d)  $4 \text{ km}$  で  $4.4\%$  ( $R=1.044$ ) で、上向きに大気密度に比例して減ずる。下向き多重散乱効果に対し、 $4 \text{ km}$  で  $\Delta T = -5 \text{ K}$  となるが、上向きに  $\Delta T$  は指数函数的に減ずる  $15 \text{ km}$  では  $\Delta T = -1 \text{ K}$  程度になる。多重散乱の効果はライダーパラメータかわかるて理論的にある程度推定できる。<sup>6)</sup>

これらのシミュレーションから  $\pm 3 \text{ K}$  域内で大気温度を測定するところならでは  $\pm 1.5\%$  域内でレーリ散乱を測定する必要がある。十分に注意深く設計されたライダーシステムならば不可能ではない。LITE 計画では、高度  $10-40 \text{ km}$  の範囲で、 $\pm 3 \text{ K}$  の温度測定が可能である。そのときの水平垂直分解能は  $1 \text{ km}$ ,

#### 参考文献

- 1) McCormick et al., Geof. Int., 23-2, 187(1984)
- 2) Browell et. al., Appl. Opt. 22, 522(1983)
- 3) NASA Spec. Publ. 433(1979)
- 4) A. Hauchecorne & M. L. Chanin, Geophys. Res. Lett., 7, 565(1980)
- 5) P. B. Russell & B. M. Morley, Appl. Opt. 21, 1554(1982).
- 6) J. D. Spinhire, Appl. Opt., 21, 2467(1982).
- 7) M. P. McCormick & T. J. Swissler, Private Communication